



MT 9301

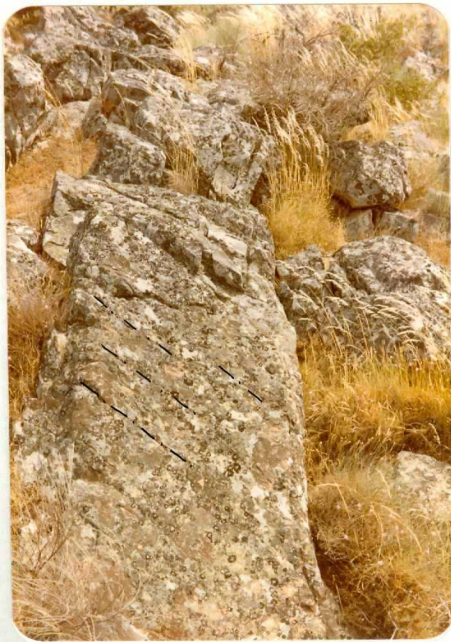
Vista panorámica de la penillanura que se desarrolla sobre los materiales precámbrios. Resaltan los niveles de grauvacas.
(PC₂)



MT9302 Complejo esquisto grauváquico. Pliegues tardíos (PC₂)



MT 9303 Detalle de la fotografía anterior.



MT9304

Cuarcita armoricana (Q_{12}) en la que se
aprecia la S_0 y S_1 .



MT9305 Pliegue en la cuarcita armoricana (O_{12}) en Sierra Señorina.



MT 9306 Ermita de Sierra de Fuentes. Pliegue en la Cuarcita armoricana (0₁₂).

MT 9307
Vista de la parte alta del tramo de
pizarras cuarcitas y arenis^{as} (0₂₋₃)



MT 9308 Detalle del tramo anterior en la Sierra del Portanchito.





MT 9309 Cuarcitas de edad Silúrica. S₁^A



MT 9310 Tramo de pizarras grafitosas silúricas.
S^A₁.



MT 9311 Conjunto de cuarcitas y areniscas
micáceas S_1^A - D ferruginosas.



MT 9312 Detalle de la fotografía anterior.



MT 9313 Cuarcitas S^B -D q plegadas en anticlinal.



MT 9314 Panorámica de las Pizarras y Tuff volcánicos (H^A).



MT9315 En primer término Pizarras y Tuff volcánicos (H^A) coluvionados. En la cresta - afloran las calizas carboníferas (H^A_C).



MT 9316 Detalle de las calizas (H_C^A) Carboníferas.



MT 9317 Calizas carboníferas en las que se aprecian grietas de tensión rellenas de calcita.



MT9318 Vista parcial de las Calizas carboníferas
(H^A) donde se aprecia la carstificación.



MT 9319 Detalle de las Pizarras Carboníferas.
(H^A)
P



MT 9320 Pizarras Carboníferas en el núcleo
del sinclinal de Cáceres.



MT9321 Talud en los derrubios de ladera de la Sierra del Portanchito.



MT9322 Detalle de la foto anterior.



MT 9323 Panorámica de la Sierra del Portanchito.



MT 9324 Pizarras mosqueadas por el metamorfismo térmico.



MT9325 Moscas de Cordierita desarrolladas
en los planos S_1 .



MT 9326 Cornubianitas en el Río Salor.



MT9327

Panorámica desde Sierra Señorina. Se aprecia el contacto entre los depósitos precámbricos y el batolito de Torrequemada-Torreorgaz. Al fondo el embalse del Salor.



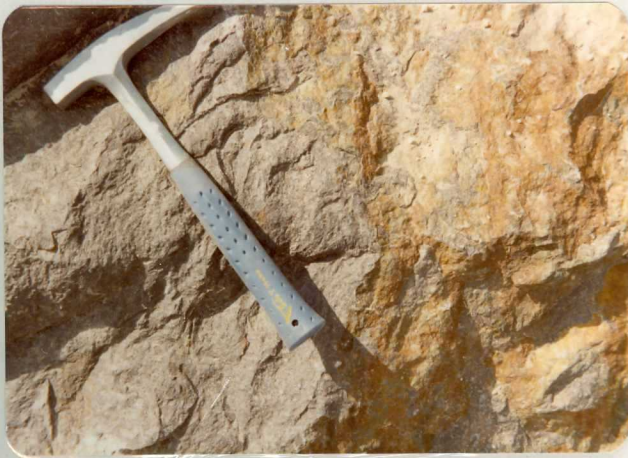
MT 9328 Detalle del granito inequigranular de
dos micas, $12\gamma^2$ mb en el macizo de Torre-
quemada-Torreorgaz.



MT 9329 Panorámica del Granito de grano grueso
y Leucogranitos γ^2 en el macizo de Ca-
beza Araya.



MT 9330 Panorámica del Granito biotítico moscovítico con megacristales de feldespato
 γ_{bm}^2 .
P



MT 9331 Detalle de la Cuarzodiorita azulada
 γ_{ng}^2 del batolito de Cabeza Araya.



MT 9332 Vista del Granito clorítico tectonizado
 γ^2 .
3



MT 9333 Panorámica del paraje de los Barruecos donde se aprecia la morfología berroqueña.



MT 9334 Panorámica de una cantera de calizas Carboníferas (H_c^A).



MT 9335 Panorámica del Paraje de los Barruecos en el macizo de Cabeza Araya, término de Malpartida de Cáceres.